



# **TM Voima Kukonaho Oy**

Kukonaho

Tuulivoimapuiston välkeselvitys

30.9.2024

Copyright © AFRY Finland Oy

Kaikki oikeudet pidätetään. Tätä asiakirjaa tai osaa siitä ei saa kopioida tai jäljentää missään muodossa ilman AFRY Finland Oy:n antamaa kirjallista lupaa.

AFRY Finland Oy:n projektinumero on 101021980-004

Kannen kuva: © AFRY

Selvityksessä on käytetty Maanmittauslaitoksen ja Ilmatieteen laitoksen avoimien aineistojen käyttöluvien alaista materiaalia, jotka on lisensoitu Creative Commons Nimeä 4.0 Kansainvälinen -lisenssillä: <http://creativecommons.org/licenses/by/4.0/deed.fi>.

## YHTEYSTIEDOT

Hankkeesta vastaava:

**TM Voima Kuponaho Oy**

Niklas Hokka

[niklas.hokka@ox2.com](mailto:niklas.hokka@ox2.com)

Tekijä:

**AFRY Finland Oy**

Erkki Heikkola

[erkki.heikkola@afry.com](mailto:erkki.heikkola@afry.com)

Wind and Solar Finland

[www.afry.com](http://www.afry.com)

Raportin tiedot:

Projektinumero: 101021980-004

Raporttiversio: 001

Raportin tila: VALMIS

Raporttihistoria:

Versio	Pvm/Laatija	Pvm/Tarkastaja	Merkinnät/Muutokset
001	30.09.2024/ Erkki Heikkola	30.09.2024/ Mika Laitinen	Alkuperäinen

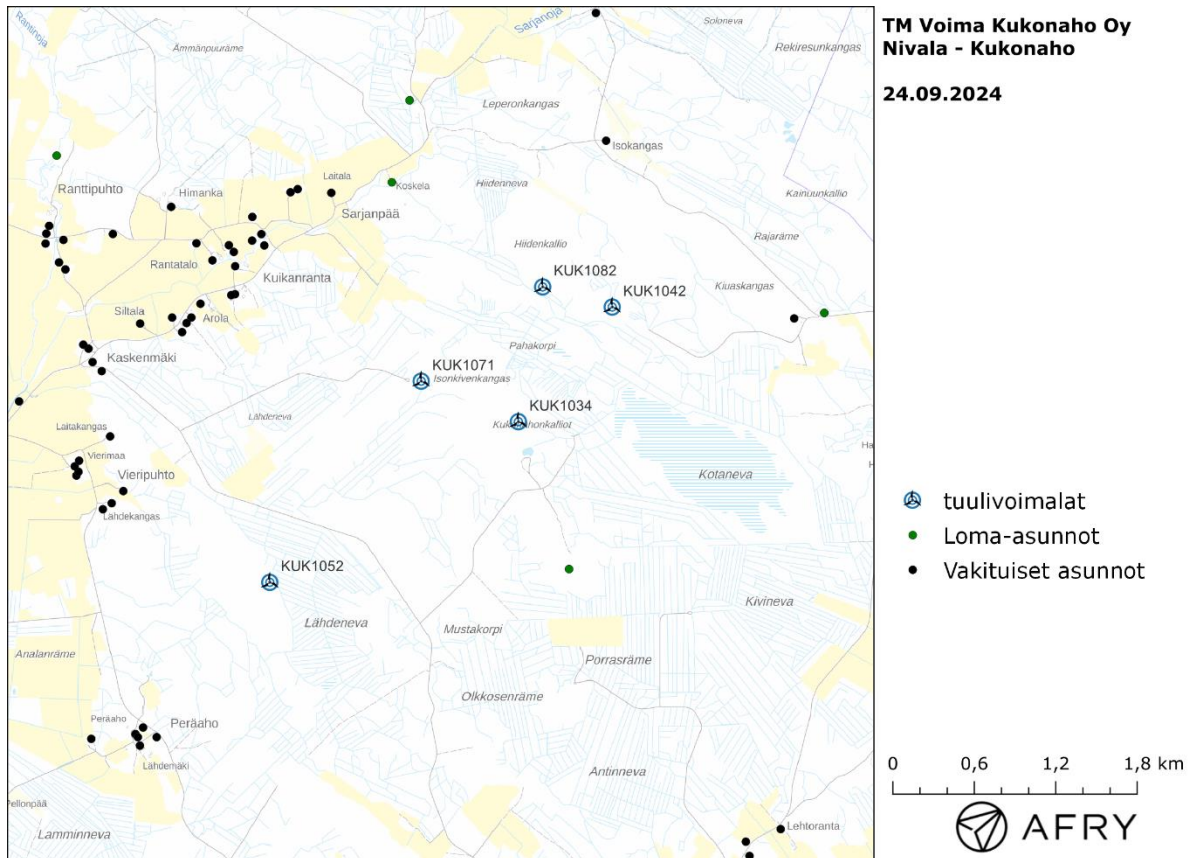
## SISÄLLYS

1	JOHDANTO .....	5
2	TUULIVOIMALOIDEN VÄLKE .....	7
2.1	Välkevaikutus.....	7
2.2	Välkkeen rajoittaminen.....	7
2.3	Arvioinnin epävarmuudet .....	7
2.4	Ohjeavot .....	8
3	TUULIVOIMAKOHTTEEN VÄLKEMALLINNUS .....	9
3.1	Mallinnusmenetelmä ja lähtöaineisto .....	9
3.2	Todennäköinen välkevaikutus.....	12
3.3	Teoreettinen välkevaikutus .....	14
4	YHTEENVETO.....	15
5	VÄLKEVAIKUTUKSEN LASKENTAMENETELMÄ .....	16
6	VIITTEET .....	18

# 1 JOHDANTO

Selvityksessä arvioidaan Nivalan kaupungin alueelle suunnitellun Kukonahon tuulivoima-  
 puiston aiheuttamaa välkevaikutusta laskennallisten mallien avulla. Arviointi on tehty 5  
 voimalan suunnitelmalle. Voimaloiden sijainnit on esitetty karttapohjalla kuvassa (Kuva  
 1-1) ja koordinaatit annettu taulukossa (Taulukko 1-1).

Välkemallinnuksissa voimaloille on käytetty napakorkeutta 142 m ja tuulivoimalatyypin  
 N175 6,8 MW roottorin halkaisijaa 175 m ja lapaprofiilia.



**Kuva 1-1: Tuulivoimaloiden sijainnit Kukonahon hankealueella.**

**Taulukko 1-1: Tuulivoimaloiden (5 kpl) sijaintikoordinaatit ETRS-TM35FIN-koordinaatissa ja maaston korkeus tuulivoimalan paikalla.**

Tuulivoimalat	E	N	Maaston korkeus [m]
KUK1034	409573	7098129	122,1
KUK1042	410264	7098972	123,0
KUK1052	407742	7096948	109,0
KUK1071	408857	7098427	115,4
KUK1082	409752	7099120	115,8

## 2 TUULIVOIMALOIDEN VÄLKE

### 2.1 Välkevaikutus

Välkevaikutuksella tarkoitetaan tilannetta, jossa Auringon paisteen ja tarkastelupisteen väliin jäävän voimalan lavat aiheuttavat välkkyvän varjon. Välke voi ulottua pisimmillään 1–3 km etäisyydelle voimalasta. Välkevaikutuksen etäisyyteen ja keston vaikuttavat tuulivoimalan korkeus ja roottorin halkaisija, vuoden- ja vuorokaudenaika, maaston muodot sekä näkyvyyttä rajoittavat tekijät kuten kasvillisuus ja pilvisuus.

Suomen sijainnin vuoksi yksittäisen tuulivoimalan välkevaikutus kohdistuu valtaosin voimalan pohjoispuolelle (päiväaika) sekä lounais- ja kaakkoispuolelle (aamu- ja ilta-ajat). Suomessa voimala aiheuttaa välkevaikutusta eteläpuolelleen vain pohjoisen napapiirin pohjoispuolella.

Välkevaikutuksen laskenta voi perustua joko teoreettisen maksimivälkkeen tai todennäköisen tilanteen mallinnukseen:

- Teoreettisen maksimivälkkeen laskennassa oletetaan, että päiväaikaan Aurinko paistaa jatkuvasti, tuulivoimalan roottori pyörii jatkuvasti, ja roottori on aina kohdisuorassa Aurinkoa kohden.
- Todennäköisen tilanteen mallinnuksessa otetaan huomioon paikallinen tilastollinen aineisto auringonpaisteen määrästä ja ajoittumisesta sekä tuulen suuntien ja nopeuksien jakautumisesta.

Tämän selvityksen välkelaskenta on tehty mallintamalla sekä todennäköinen välkeaika että teoreettinen maksimivälke.

### 2.2 Välkkeen rajoittaminen

Välkevaikutusta voidaan vähentää voimalakohtaisella välkkeen hallintatyökalulla (shadow flicker protection system), joka sisältää valoanturin ja välkkeenhallintasovelluksen. Työkalun avulla voimala voidaan pysäyttää joko havaitun auringonpaisteen perusteella ja/tai haluttuina vuoden- ja kellonaikoina. Pysäytetty voimala ei aiheuta välkettä.

### 2.3 Arvioinnin epävarmuudet

Mallinnettu todennäköinen välkevaikutus perustuu auringonpaisteen ja tuulisuuden tilastolliseen aineistoon. Yksittäisen vuoden sääolosuhteet saattavat poiketa merkittävästi keskimääräisistä olosuhteista, jolloin vuotuinen välkevaikutus voi poiketa mallinnetusta arvosta. Auringonpaisteen aineisto on saatu Oulun sääasemalta, josta etäisyys hankealueeseen on noin 110 km.

Mallinnuksessa ei ole huomioitu paikallisen puuston vaikutusta voimaloiden näkyvyyteen ja välkevaikutukseen. Puusto voi rajoittaa merkittävästi näkyvyyttä turbiineille ja vähentää vuotuista välkevaikutusta. Puuston näkyvyyttä peittävä vaikutus vaihtelee kuitenkin vuosien ja vuodenaikojen suhteen, minkä vuoksi puuston välkettä vähentävää vaikutusta ei pystytä arvioimaan tarkasti.

Rakennuksiin kohdistuvan välkkeen laskennassa käytetään ns. kasvihuone-oletusta, jolloin rakennukseen kohdistuva välkevaikutus huomioidaan riippumatta suunnasta. Välkevaikutuksen laskennallinen arvio kuvaa siis välkevaikutusta ulkona. Rakennusten sisätiloissa välkevaikutus on yleensä vähäisempi, koska välkevaikutus kohdistuu rakennuksen sisätiloihin vain ikkunoiden suunnasta.

## 2.4 Ohjearvot

Tuulivoimaloiden välkevaikutukselle ei ole Suomessa määritelty ohjearvoja. Ympäristöministeriön ohjeissa tuulivoimapuiston suunnitteluun suositellaan käytettäväksi muiden maiden suosituksia välkemäärien osalta [4]. Tässä selvityksessä mallinnettuja välkeajoja verrataan vakiintuneen käytännön mukaan Ruotsin, Tanskan ja Saksan ohjearvoihin. Välkkeen ohjearvoja sovelletaan asutuksen kohdalla, eikä esimerkiksi eläimiin tai luontoon kohdistuvasta välkevaikutuksesta ole ohjearvoja tai arviointikriteerejä.

Tanskassa on määritetty todennäköisen vuotuisen välketuntimäärän suositusarvoksi 10 tuntia. Ruotsissa vastaava todennäköisen välkkeen suositusarvo on 8 tuntia vuodessa ja korkeintaan 30 minuuttia päivässä [2]. Saksassa teoreettisen maksimivälkkeen raja-arvot ovat korkeintaan 30 tuntia vuodessa ja 30 minuuttia päivässä. Saksassa todellinen vuotuisen välkevaikutus ohjeistetaan rajoittamaan 8 tuntiin, jos voimalaan asennetaan välkkeen hallintatyökalu.



## 3 TUULIVOIMAKOHTTEEN VÄLKEMALLINNUS

### 3.1 Mallinnusmenetelmä ja lähtöaineisto

Tuulivoimaloiden aiheuttama välkevaikutus (shadow flicker) arvioitiin AFRY Numerola -mallinnusohjelmistolla, joka huomioi auringon paikan vuoden eri aikoina, tuulivoima-alueen ja sen ympäristön maastonmuodot sekä tuulivoimaloiden dimensiot. Laskennan tuloksena saadaan tietoa siitä, kuinka monta tuntia vuodessa alueen eri kohteet ovat välkevaikutuksen alaisena. Tulosta havainnollistetaan tasa-arvokäyrästä, jonka perusteella voidaan arvioida varjostusvaikutusta tarkastelualueella.

Tarkastelualueiden maanpinnan korkeuserot on saatu Maanmittauslaitoksen aineistosta *Korkeusmalli 10 m*. Korkeusdatan vaakaresoluutio on 10 m ja pystysuorainen tarkkuus 1,4 m. Laskennassa huomioitiin korkeuserot siten, että jos Auringon, tuulivoimalan ja tarkastelupisteen kautta kulkeva jana leikkaa maanpintaa, niin varjostusta ei esiinny. Välkevaikutus laskettiin 2 m korkeudelle. Auringonpaistekulman rajana horisontista käytettiin kolmea astetta, jonka alle menevää säteilyä ei oteta huomioon varjostuksessa.

Tuulivoimalan lapojen aiheuttama varjo heikkenee asteittain liikuttaessa etäämmälle tuulivoimalasta, eikä tietyn etäisyyden jälkeen varjo ole enää ihmissilmin havaittavissa. Tämä etäisyys riippuu tuulivoimalan lavan leveydestä, ja esimerkiksi Ruotsin tuulivoimarakentamisen suunnitteluohjeistuksessa määritellään, että välkevaikutus huomioidaan mikäli lapa peittää vähintään 20 % Auringosta. Käytännössä tämä asettaa lavan leveydestä riippuvan maksimietäisyyden yksittäisen tuulivoimalan aiheuttamalle välkevaikutukselle, eikä sen ulkopuolella välkevaikutusta ole.

Yleensä välkelaskennan maksimietäisyyden laskenta perustuu lavan keskimääräiseen leveyteen, joka määrää maksimietäisyyden. Käytännössä tuulivoimalan lapa ei ole vakioleveyinen: Levein kohta sijaitsee lähellä tuulivoimalan napaa, ja lapa kapenee huomattavasti kärkeä kohti liikuttaessa. Tällä perusteella lavan tyven välkevaikutus ulottuu huomattavasti pidemmälle kuin lavan kärjen, mikäli arviointiperusteena käytetään Auringon peittoastetta. Tässä selvityksessä välkelaskennassa ei ole käytetty tavanomaista maksimietäisyyttä, vaan on huomioitu tuulivoimalan muuttuva lapaprofiili.

Välkelaskennassa voimaloille on käytetty napakorkeutta 142 m ja voimalatyyppin N175 6,8 MW roottorin halkaisijaa 175 m ja lapaprofiilia. Laskentamenetelmän yksityiskohdat on kuvattu luvussa 5.

Todelliseen välkevaikutukseen vaikuttavat tuulivoimaloiden käyttöaste, puusto ja paikallinen säätila (pilvisuus ja tuulisuus). Jos esimerkiksi tuulen suunta on kohtisuorassa auringon ja tarkastelupisteen välistä linjaa vasten, ei varjostusvaikutusta esiinny. Varjostuksen laskennassa tuulivoimalan orientaatio voidaan määrittää, jolloin roottori oletetaan tiettyyn suuntaan asetetuksi ympyrätasoksi. Todennäköisen välkevaikutuksen laskenta on suoritettu kuudella eri tuulivoimalan orientaatiolla. Tämä vastaa 12 tuulen suuntasektorin varjostustuloksia, sillä vastakkaiset tuulensuunnat aiheuttavat välkkeen kannalta efektiivisesti saman roottorin orientaation. Kullakin tuulen suunnalla laskettua välketuntimäärää on skaalattu Suomen tuuliatlaksesta [1] saatavan suuntasektorin esiintymisfrekvenssillä ja suuntakohtaisesta nopeusjakaumasta määritellyn tuulivoimalan käyntinopeuksien ajallisella osuudella. Käynnistysnopeutta alemmissa tai pysäytysnopeutta korkeammassa tuulissa tuulivoimalat ovat paikallaan, jolloin roottorin pyörimisestä aiheutuvaa valon välkkymistä ei esiinny. Suomen tuuliatlaksen tuulisuusestimaatti on otettu tuulivoima-alueen

keskeltä korkeudelta 150 m, ja sen perusteella lasketut suuntasektorikohtaiset osuudet tuulivoimalan käyntinopeusvälille osuville tuulille on lueteltu taulukossa (Taulukko 3-1).

Paikallinen pilvisyys on huomioitu skaalaamalla eri roottoriorientaatioilla laskettuja varjotusaikoja Oulun sääasemalta mitattujen auringonpaistetuntien suhteellisella osuudella teoreettisesta maksimipaistetuntien määrästä [3]. Sääaseman mittausten perusteella lasketut kuukausittaiset auringonpaisteen todennäköisyydet on koottuna taulukkoon (Taulukko 3-2). Suuntakohtaisesti skaalatut välketuntimäärät yhteen laskien saadaan arvio todellisesta, säätilan huomioonottavasta välketuntimäärästä tarkastelualueella.

**Taulukko 3-1: Suuntasektorikohtaiset osuudet yli 3 m/s tuulennopeuksille Suomen tuuliatlaksen perusteella.**

Suuntasektori	0/180	30/210	60/240	90/270	120/300	150/330
Yli 3 m/s osuus	0,173	0,161	0,161	0,131	0,138	0,155

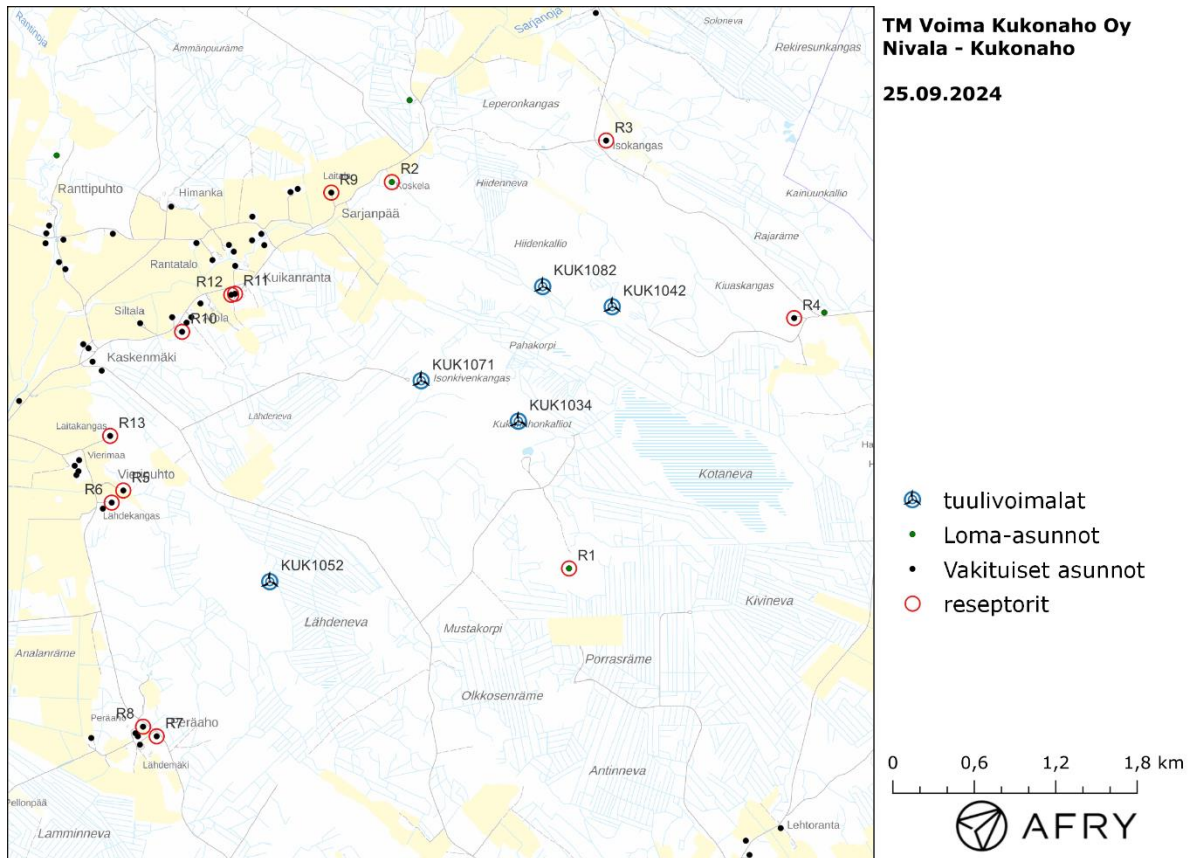
**Taulukko 3-2: Auringonpaisteen kuukausittaiset todennäköisyydet Oulun sääasemalla.**

Kuukausi	Auringonpaisteen todennäköisyys
Tammikuu	0,152
Helmikuu	0,289
Maaliskuu	0,377
Huhtikuu	0,455
Toukokuu	0,469
Kesäkuu	0,451
Heinäkuu	0,452
Elokuu	0,413
Syyskuu	0,340
Lokakuu	0,229
Marraskuu	0,151
Joulukuu	0,070

Taulukossa (Taulukko 3-3) on määritelty tuulivoimaloiden ympäristöstä 13 pistettä, joiden kohdilla välkevaikutusta tarkastellaan tarkemmin. Pisteet on valittu asuntojen kohdilta, joihin kohdistuu suurin välkevaikutus. Näitä pisteitä kutsutaan reseptoreiksi, ja niiden paikat suhteessa tuulivoimaloihin on esitetty karttapohjalla (Kuva 3-1). Reseptorit sijaitsevat noin 1,2-1,6 km etäisyydellä voimaloista.

**Taulukko 3-3: Reseptorien koordinaatit ETRS-TM35FIN-koordinaatistossa.**

Reseptori	E	N	Maaston korkeus [m]	Rakennusluokitus
R1	409947	7097044	117,9	Lomarakennus
R2	408642	7099888	103,0	Lomarakennus
R3	410220	7100194	118,1	Vakituinen asuinrakennus
R4	411605	7098887	125,0	Vakituinen asuinrakennus
R5	406664	7097618	97,0	Vakituinen asuinrakennus
R6	406578	7097528	96,0	Vakituinen asuinrakennus
R7	406910	7095808	97,1	Vakituinen asuinrakennus
R8	406809	7095879	98,8	Vakituinen asuinrakennus
R9	408196	7099810	100,8	Vakituinen asuinrakennus
R10	407097	7098786	100,6	Vakituinen asuinrakennus
R11	407487	7099065	101,8	Vakituinen asuinrakennus
R12	407459	7099058	100,9	Vakituinen asuinrakennus
R13	406567	7098020	96,1	Vakituinen asuinrakennus

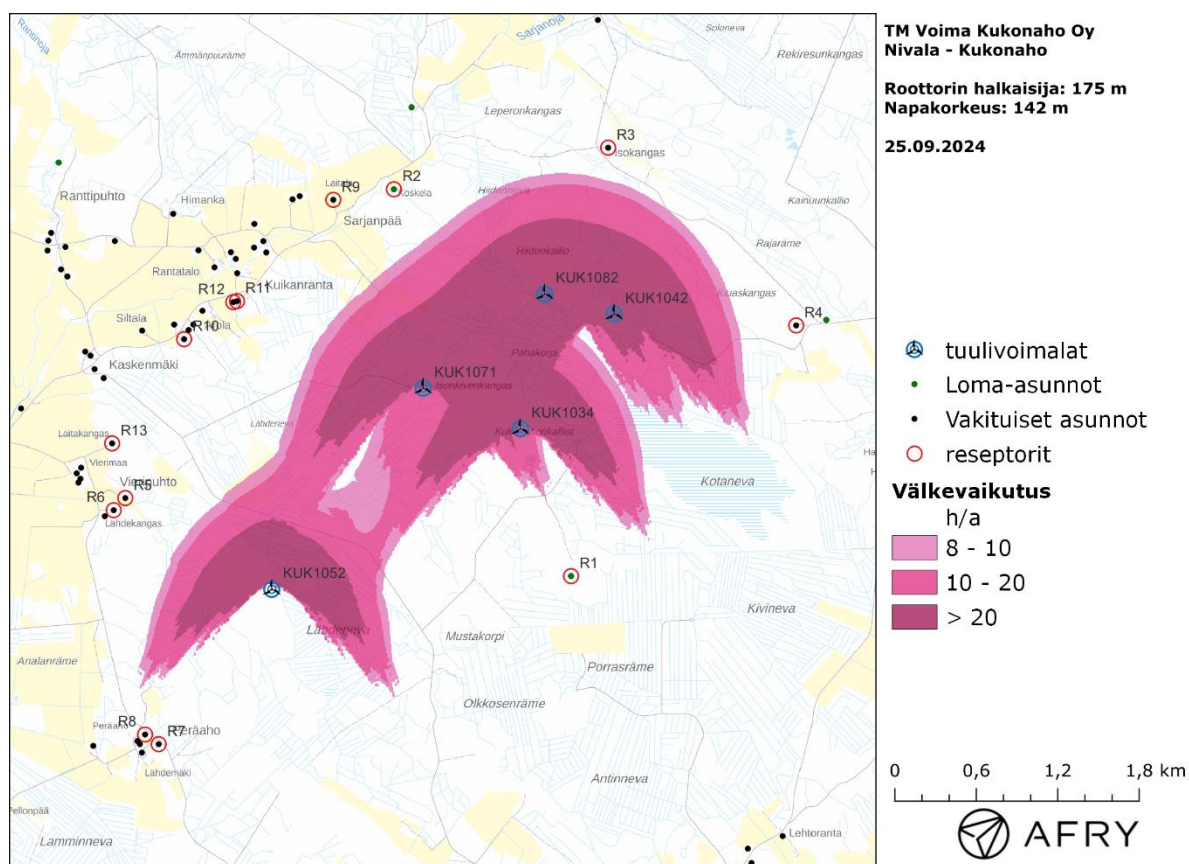

**Kuva 3-1: Reseptoreiden paikat Kukonahon tulivoimapuiston hankealueella.**

### 3.2 Todennäköinen välkevaikutus

Mallinnetut arviot todennäköisten välketuntien vuotuisesta määrästä on esitetty karttakuvana (Kuva 3-2). Mallinnuksessa ei ole huomioitu paikallisen puuston vaikutusta tuulivoimaloiden näkyvyyteen ja välkevaikutukseen. Karttoihin on merkitty ympäristössä sijaitsevat loma- ja asuinrakennukset käyttäen lähtötietona Maanmittauslaitoksen maastotietokannan sisältämiä tietoja.

Mallinnusten perusteella vuotuinen todennäköinen välkevaikutus jää alle Ruotsin 8 tunnin ohjearvon kaikkien lähialueen asuin- ja lomarakennusten kohdalla. Myös päiväkohtainen todennäköinen välkevaikutus alittaa Ruotsin 30 minuutin ohjearvon kaikkien alueen asuntojen kohdalla. Vuotuiset todennäköiset välkevaikutusajat ja suurimmat päiväkohtaiset maksimivälkkeet reseptorien kohdalla on lueteltu taulukossa (Taulukko 3-4).

Todennäköisen välkkeen tarkempi ajoittuminen reseptorin R3 kohdalla on esitetty taulukossa (Taulukko 3-5). Taulukossa esitetyt kellonajat ovat aikavyöhykkeen UTC+2 mukaisia (Suomen talviaika).



**Kuva 3-2: Tuulivoimaloiden aiheuttama todennäköisen välkkeen määrä ilman puuston vaikutusta.**

**Taulukko 3-4: Todennäköinen välkevaikutus tunteina ja minuutteina [h:min] reseptoreiden kohdilla.**

Reseptori	Todennäköinen vuotuinen välkeaika	Todennäköisen välkkeen päiväkohtainen maksimi
R1	1:35	0:04
R2	2:49	0:07
R3	3:51	0:10
R4	2:17	0:09
R5	1:25	0:06
R6	1:22	0:05
R7	0:00	0:00
R8	0:25	0:03
R9	1:48	0:05
R10	0:55	0:03
R11	1:10	0:04
R12	1:08	0:04
R13	0:42	0:03

**Taulukko 3-5: Todennäköisen välkevaikutuksen ajoittuminen ja kesto tunteina ja minuutteina [h:min] reseptorin R3 kohdalla.**

Kellonaika	0-2	2-4	4-6	6-8	8-10	10-12	12-14	14-16	16-18	18-20	20-22	22-24	
Tammikuu	0:00	0:00	0:00	0:00	0:00	0:00	0:51	0:19	0:00	0:00	0:00	0:00	1:10
Helmikuu	0:00	0:00	0:00	0:00	0:00	0:00	0:19	0:41	0:00	0:00	0:00	0:00	1:00
Maaliskuu	0:00	0:00	0:00	0:00	0:00	0:00	0:00	0:00	0:00	0:00	0:00	0:00	0:00
Huhtikuu	0:00	0:00	0:00	0:00	0:00	0:00	0:00	0:00	0:00	0:00	0:00	0:00	0:00
Toukokuu	0:00	0:00	0:00	0:00	0:00	0:00	0:00	0:00	0:00	0:00	0:00	0:00	0:00
Kesäkuu	0:00	0:00	0:00	0:00	0:00	0:00	0:00	0:00	0:00	0:00	0:00	0:00	0:00
Heinäkuu	0:00	0:00	0:00	0:00	0:00	0:00	0:00	0:00	0:00	0:00	0:00	0:00	0:00
Elokuu	0:00	0:00	0:00	0:00	0:00	0:00	0:00	0:00	0:00	0:00	0:00	0:00	0:00
Syyskuu	0:00	0:00	0:00	0:00	0:00	0:00	0:00	0:00	0:00	0:00	0:00	0:00	0:00
Lokakuu	0:00	0:00	0:00	0:00	0:00	0:00	0:04	0:00	0:00	0:00	0:00	0:00	0:04
Marraskuu	0:00	0:00	0:00	0:00	0:00	0:40	0:53	0:04	0:00	0:00	0:00	0:00	1:37
Joulukuu	0:00	0:00	0:00	0:00	0:00	0:00	0:00	0:00	0:00	0:00	0:00	0:00	0:00
<b>Yhteensä</b>	<b>0:00</b>	<b>0:00</b>	<b>0:00</b>	<b>0:00</b>	<b>0:00</b>	<b>0:40</b>	<b>2:07</b>	<b>1:04</b>	<b>0:00</b>	<b>0:00</b>	<b>0:00</b>	<b>0:00</b>	<b>3:51</b>

### 3.3 Teoreettinen välkevaikutus

Teoreettisen maksimivälkkeen vuotuiset ja suurimmat päiväkohtaiset välkevaikutusajat reseptoreiden kohdilla on lueteltu taulukossa (Taulukko 3-6). Mallinnusten perusteella teoreettinen vuotuinen maksimivälke aika pysyy alle 30 tunnin ohjearvon kaikkien rakennusten kohdalla. Päiväkohtainen maksimivälke aika ylittää hieman 30 minuutin ohjearvon kolmen asunnon kohdalla. Suomen olosuhteissa Saksan teoreettisen maksimivälkkeen ohjearvoihin vertaaminen voi antaa kuitenkin harhaanjohtavan kuvan välkevaikutuksesta. Suomessa aurinko paistaa eri kulmasta kuin Saksassa ja auringonpaisteen todennäköisyys on erilainen. Suomessa aurinko paistaa talvella hyvin viistosti, mikä voi aiheuttaa suuren teoreettisen maksimivälkkeen. Talvisin auringonpaisteen todennäköisyys on Suomessa hyvin alhainen. Todennäköisen välkkeen ajoittumistaulukosta reseptorin R3 osalta nähdään, että välkettä esiintyy talvikuukausina, jolloin auringonpaisteen todennäköisyys on Suomessa alhainen tai auringonpaiste jää puiden varjoon.

**Taulukko 3-6: Teoreettinen välkevaikutus tunteina ja minuutteina [h:min] reseptoreiden kohdilla.**

Reseptori	Teoreettinen vuotuinen välke aika	Teoreettisen välkkeen päiväkohtainen maksimi
R1	6:20	0:15
R2	22:57	0:32
R3	21:54	0:38
R4	10:29	0:36
R5	8:28	0:28
R6	7:39	0:23
R7	0:00	0:00
R8	1:39	0:09
R9	13:21	0:23
R10	6:48	0:14
R11	8:53	0:18
R12	8:36	0:17
R13	4:39	0:16

## 4 YHTEENVETO

Raportissa on esitetty Nivalan kaupungin alueelle suunnitellun Kukonahon tuulivoimapuis-ton ympäristölleen aiheuttaman välkevaikutuksen laskennalliset arviot. Vaikutusten arvi-oinnit on tehty 5 voimalan suunnitelmalle.

Tuulivoimaloiden välkevaikutukselle ei ole Suomessa määritelty ohjearvoja, ja ympäristö-ministeriö suosittelee käyttämään muiden maiden ohjearvoja. Mallinnusten mukaan toden-näköinen vuotuinen välkevaikutus jää alle Ruotsin 8 tunnin ohjearvon ja Tanskan 10 tunnin ohjearvon alueen kaikkien asuin- ja lomarakennusten kohdilla. Myös todennäköinen päi-väkohtainen välkeaika alittaa Ruotsin 30 minuutin ohjearvon kaikkien alueen asuntojen kohdalla. Teoreettinen vuotuinen maksimivälke jää alle Saksan 30 tunnin raja-arvon kaik-kien asuntojen kohdilla.

## 5 VÄLKEVAIKUTUKSEN LASKENTAMENETELMÄ

Välkevaikutuksen laskennassa hyödynnetään taivaanpallon käsitettä, joka on maapallon maantieteellistä koordinaatistoa vastaava kuvitteellinen kuori katsottaessa maapallolta taivaalle. Samalla tavoin kuin paikan sijainti maapallolla voidaan ilmoittaa pituus- ja leveyspiirien avulla, voidaan taivaankappaleiden paikat taivaanpallolla ilmoittaa kahden koordinaatin (rektaskensio ja deklinaatio) avulla. Aurinko kulkee vuoden aikana taivaanpallolla kääntöpiirien väliin asettuvalla nauhalla, ja Auringon esiintymistiheys kyseisellä nauhalla voidaan esittää tiheysfunktiona.

Tiettyyn pisteeseen kohdistuvaa vuotuista välkevaikutusta laskettaessa tarkastellaan sitä osaa taivaanpallosta, joka näkyy pisteeseen tuulivoimaloiden roottorikehien läpi. Näkyvyyden arvioinnissa otetaan huomioon paikallinen maaston korkeusaineisto. Mikäli kääntöpiirien väliin asettuva nauha ei näy roottorikehien läpi, tarkastelupisteeseen ei kohdistu välkevaikutusta. Muussa tapauksessa yksittäisen tuulivoimalan aiheuttamien välketuntien määrä saadaan integroimalla tiheysfunktiota tuulivoimalan roottorikehien läpinäkyvällä taivaanpallon osuudella. Tuulivoimaloiden yhteisvaikutus saadaan summaamalla tuulivoimalakohtaiset välketunnit ottaen kuitenkin huomioon mahdolliset päällekkäisyydet roottorikehien peittämässä alueissa. Laskenta suoritetaan erikseen tuulivoimaloiden eri orientaatioille, joita skaalataan suuntakohtaisilla tuulusuusuksilla.

Huomioitaessa kuukausittaista (tai muuta lyhytaikaista) vaihtelua auringonpaisteen todennäköisyydessä, taivaanpallon nauha jaetaan vastaaviin osiin Auringon deklinaation mukaan. Tiheysfunktio määritellään näissä osissa erikseen, ja integroinnin tuloksia skaalataan kuukausikohtaisilla todennäköisyyksillä.

Tuulivoimalan lapojen aiheuttama varjo heikkenee asteittain liikuttaessa etäämmälle tuulivoimalasta, eikä tietyn etäisyyden jälkeen varjo ole enää ihmissilmin havaittavissa. Tämä etäisyys riippuu tuulivoimalan lavan leveydestä, ja esimerkiksi Ruotsin ja Saksan tuulivoimarakentamisen suunnitteluohjeistuksessa määritellään, että välkevarjostus huomioidaan, mikäli lapa peittää vähintään 20 % Auringosta. Käytännössä tämä asettaa lavan leveydestä riippuvan maksimietäisyyden yksittäisen tuulivoimalan aiheuttamalle välkevaikutukselle, eikä sen ulkopuolella välkevaikutusta ole.

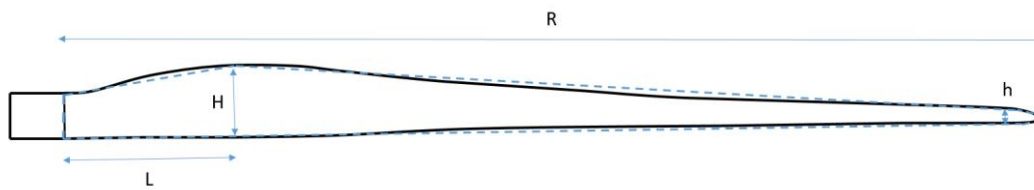
Kun lavan leveys on  $w$  metriä, niin 20 % Auringon peittoon perustuvan välkevarjostuksen maksimietäisyyden määrittämiseen voidaan johtaa laskentakaava

$$\text{maksimietäisyys} = (5 * d * w) / 1'097'780,$$

missä  $d$  on etäisyys Aurinkoon (150'000'000 km). Yleensä välkelaskennan maksimietäisyyden laskenta perustuu lavan keskimääräiseen leveyteen, joka määrää maksimietäisyyden. Käytännössä tuulivoimalan lapa ei ole vakiolevyinen: Levein kohta sijaitsee lähellä tuulivoimalan napaa ja lapa kapenee huomattavasti kärkeä kohti liikuttaessa. Tällä perusteella lavan tyven välkevaikutus ulottuu huomattavasti pidemmälle kuin lavan kärjen, mikäli arviointiperusteena käytetään Auringon peittoastetta.

Seuraavassa kaaviokuvassa (Kuva 5-1) on esitetty malli tyypillisestä profiilista, jossa lavan maksimileveys on  $H$  etäisyydellä  $L$  lavan tyvestä. Lavan kokonaispituus on  $R$  ja lavan leveys 90 % etäisyydellä tyvestä on  $h$ . Lavan oletetaan kapenevan lineaarisesti arvosta  $H$  arvoon  $h$  liikuttaessa maksimikohdasta kärkeen. Tavanomaisesti välkelaskennassa tuulivoimalan keskimääräinen leveys on määritetty parametrien  $H$  ja  $h$  keskiarvona.





**Kuva 5-1: Tuulivoimalan lavan malliprofiili.**

Tämän raportin väkelaskennassa käytetään tuulivoimavalmistajan ilmoittamiin tietoihin perustuvaa lavan profiilitietoa. Laskennassa huomioitava roottorin säde vaihtelee välillä  $[0, R]$  riippuen tarkastelupisteen etäisyydestä turbiineihin sekä lavan leveydestä ja sitä vastaavasta Auringon peittoasteesta. Tällä tavoin väkelaskennassa huomioidaan tuulivoimalan muuttuva lapaprofiili, ja saadaan realistisempia tuloksia kuin olettamalla tietty keskimääräinen lavan leveys ja sitä vastaava kiinteä maksimietäisyys.

## 6 VIITTEET

- [1] B. Tammelin et al.: Production of the Finnish Wind atlas. Wind Energy, 2011.
- [2] Boverket: *Vindkraftshandboken*, Planering och prövning av vindkraftverk på land och i kustnära vattenområden, 2009.
- [3] P. Pirinen et al.: Tilastoja Suomen ilmastosta 1981–2010, Ilmatieteen laitos, Raportteja 2012:1
- [4] Tuulivoimarakentamisen suunnittelu. Päiväys 2016. Ympäristöhallinnon ohjeita 5|2016.